



沿って滑るときせん断強度は、 $T_s = \sigma_n \tan(\phi + i_0)$  で与えられる (Patton 1966)。この  $T_s$  と  $\sigma_n$  を用い、歯型の解析 (1) 解析方法参照) によって破壊安全率  $F_s$  を求める。 $F_s \geq 1$  のとき歯型に沿って滑り、せん断強度は  $T_s$  となる。 $F_s < 1$  のとき歯型は破壊し、そのときのせん断強度は次のようにして求められると推測される。上述の解析に用いた  $T_s$  の替わりに  $T_s \times F_s$  を使用し  $F'_s$  を計算する。この計算を  $F'_s$  が 1 に収束するまで繰返せばせん断強度  $T_s$  が得られる。図-4 は、①に  $i_0 = 20^\circ$ 、 $\sigma_n = 40 \text{ kg/cm}^2$  でせん断試験を行ったときの破壊面の一例を、②に同様の条件下で解析をして求めた破壊面をそれぞれ示したものである。②において、 $F_s$  の値は各破壊面における安全率を示しているが、0.99~1.07 とそれほど大きな違いはない。このことは、同図に示したどの破壊面でも破壊を起こす可能性があり、この解析手法によって①図に示した2つの破壊面が同様の破壊現象として説明できることを表わしていると考えられる。

注) 本来この値は1であるべきだが、各歯型による強度のパラツキを考慮すれば、1よりも若干大きくなると思われる。

#### 4. ロックボルトの補強効果

##### (1) 解析概要

実験試体中のボルトの挙動を模擬するため、ボルトを梁要素、モルタルの付着および支圧をボルト軸に平行と直角な二方向バネ要素 (結合要素) で表現し、2~3 の例に対し FEM 解析を実施した。梁とバネは降伏応力を境に弾性係数を低下させる、バイリニアモデルとし、ボルトは対称性を考慮して不連続面の片側をモデル化した。不連続面でのせん断変位と鉛直変位 (ダイレイタンス) より、梁軸方向変位、軸直角方向変位を求め、梁先端に強制変位として分割載荷した。図-5 にモデル概念図を、表-1 に入力定数を示す。

##### (2) 解析結果

支圧バネ応力の総和よりダウエル効果 (ボルトのせん断による効果) が得られ、ボルト先端の軸力  $N$  と傾角  $\theta$  より、不連続面の摩擦角  $\phi$  を用いて、軸力効果  $F$  は、 $F = N (\sin \theta \cdot \tan \phi + \cos \theta)$  で計算できる。解析結果の一例を図-6 に示す。図中での不連続面摩擦応力は、ボルトを含まないケースも含めた全体の傾向から推定したものである。解析結果は実験結果と比較的よい一致を示し、本モデルでボルトの挙動および効果を表現できるものと考えられる。解析によれば、ダウエル効果は小さく、ボルト効果のほとんどは軸力効果である。ボルト効果は、不連続面の垂直応力  $\sigma_n$  と無関係であるから、 $\sigma_n$  が小さい場合に不連続面摩擦強度が小さく、ボルト効果の相対的比率が上昇して、ボルトがより有効に働くものと考えられる。

##### 参考文献

- 吉中, 新井ら; 岩盤分離面に対するロックボルトの作用効果に関する基礎研究, オ17 回岩盤シンポジウム, P281~285 1985

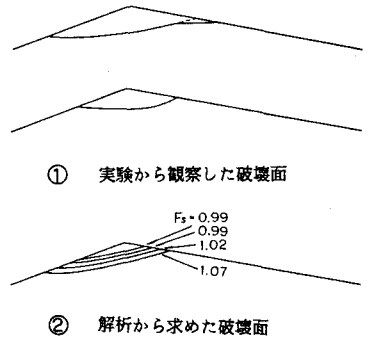


図-4 歯型の破壊面

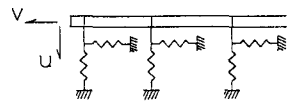


図-5 ボルト解析モデル

表-1 入力定数表

	降伏応力	初期弾性係数	降伏後弾性係数
梁	3000kg/cm <sup>2</sup>	210000kg/cm <sup>2</sup>	12600kg/cm <sup>2</sup>
付着バネ	21kg/cm	32000kg/cm <sup>2</sup>	32kg/cm <sup>2</sup>
支圧バネ	400kg/cm	34000kg/cm <sup>2</sup>	34kg/cm <sup>2</sup>

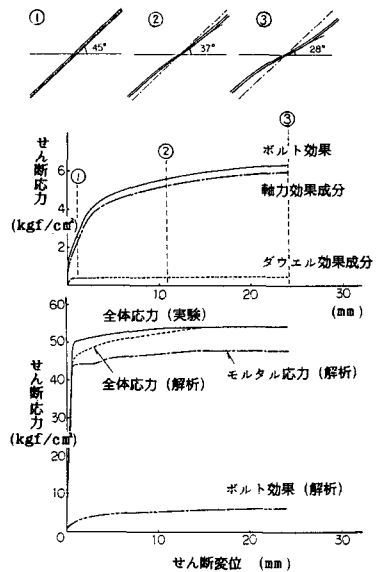


図-6 ボルトの補強効果および変形